

На рис. 4 представлены графики безразмерных смещений точек свободной поверхности полупространства в зависимости от расстояния  $x$  от края штампа ( $x = 1$ ) при  $t_1 = 0,4$ ,  $t_2 = 0,8$ ,  $t_3 = 1,2$ ,  $t_4 = 1,6$ ,  $t_5 = 2$  для случаев 1 (сплошная линия) и 2 (штриховая). Кривые 1—5 — графики смещений точек поверхности полупространства в моменты времени  $t_n$ .

#### ЛИТЕРАТУРА

1. Паргон В. З., Перлин П. И. Методы математической теории упругости. — М.: Наука, 1981.
2. Бейтмен Г., Эрдейи А. Таблицы интегральных преобразований. Преобразования Фурье, Лапласа, Меллина. — М.: Наука, 1969.
3. De Hoop A. T. A modification of Cagniard's method for solving seismic pulse problems // Appl. Sci. Res. Ser. B. — 1960. — V. 8.
4. Бенерджи П., Баттерфилд Р. Методы граничных элементов в прикладных науках. — М.: Мир, 1984.
5. Бабешко В. А. Обобщенный метод факторизации в пространственных динамических смешанных задачах теории упругости. — М.: Наука, 1984.

Поступила 28/X 1987 г.

УДК 532.526

### СОПРЯЖЕННАЯ ЗАДАЧА АЭРОДИНАМИЧЕСКОГО ВЫТЯГИВАНИЯ СТРУЙ НАГРЕТОЙ ВЯЗКОЙ ЖИДКОСТИ

В. И. Елисеев, Л. А. Флеер

(Днепропетровск)

Аэродинамическое вытягивание струй вязких жидкостей имеет свое практическое применение в вопросах формирования синтетических нитей из расплавов полимеров с помощью скоростных газовых потоков. Задача о формировании волокон относится к сопряженным задачам, в которых необходимо учитывать взаимное влияние формуемого волокна с окружающей средой. Впервые она была математически сформулирована в работах [1, 2], где предложена модель течения, выведены основные уравнения и граничные условия. В [3, 4] выведены наиболее общие уравнения динамики тонких струй вязкой жидкости с учетом пространственного изгиба и кручения, в [4—6] дан подробный анализ современного состояния теории гидродинамики, теплообмена и устойчивости процессов формирования волокон. В случае формирования волокон с помощью тянущих устройств при небольших (до 5 м/с) конечных скоростях струи внешним силовым воздействием потока можно пренебречь [7]. С увеличением скорости движения нити влияние силы трения на параметры волокна становится существенным. Для аэродинамического вытягивания силы взаимодействия потока и волокна являются определяющими. Некоторым физическим и технологическим аспектам этой задачи посвящен ряд работ (например, [8, 9]), в которых рассмотрены особенности аэродинамического формирования. В данной работе построена полная сопряженная математическая модель течения и проведен численный анализ на основе итерационного метода [10, 11].

**1. Основные уравнения и граничные условия.** На рис. 1 показана схема течения струи жидкости, вытягиваемой воздушным потоком, параллельным оси струи (1 — фильера, 2 — струя, 3 — эжектор). Вследствие наличия вязкостных и теплопроводных эффектов струя расплава и внешняя среда взаимодействуют друг с другом посредством пограничного слоя. Взаимное влияние вытягиваемой струи и среды делает поставленную задачу сопряженной. Предположим, что течение струи расплава происходит устойчиво, струя не изгибается и не колеблется, профили скоростей и температур в струе однородны. Такие предположения дают возможность использовать простые уравнения движения жидкой струи и теплообмена, выведенные, например, в [1—3]:

$$(1.1) \quad \frac{dA_c}{dx} = \frac{\rho_c A_c F}{G\beta}, \quad \frac{dT_c}{dx} = \frac{2\pi r_c q}{\rho_c u_c c_c A_c},$$

$$G = \rho_c u_c A_c, \quad F = F_{\text{тр}} + F_{\text{ин}} + F_g, \quad q = q_T + q_{\text{пл}}, \\ \beta = D \exp(B/T_c + C), \quad A_c|_{x=0} = A_{c0}, \quad T_c|_{x=0} = T_{c0}.$$

Здесь  $\rho_c$  — плотность жидкости;  $u_c$  — скорость струи;  $\varepsilon$  — степень черноты тела;  $\sigma$  — постоянная Стефана — Больцмана;  $c_c$  — теплоемкость жидкости;  $A_c$  — площадь поперечного сечения струи;  $T_c$  — температура струи;  $\hat{\rho}$  — продольная вязкость полимера;  $G$  — расход полимера;  $r_c$  — радиус струи;  $F$  — суммарное осевое усилие, уравновешивающее реологическую силу и включающее в себя силу трения, веса струи и инерции

$$\left( F_{\text{тр}} = 2\pi \int_x^L \tau_c r_c (1 + r_{cx}')^{0,5} dx, \quad F_g = \int_x^L g \rho_c A_c dx \quad \text{и} \right.$$

$$\left. F_{\text{ин}} = G(u_c - u_L) \right); \quad L — \text{длина струи; } u_L — \text{конечная скорость струи; } \tau_c — \text{касательное напряжение на поверхности струи; } q_T — \text{тепловой поток вследствие вынужденной конвекции; } q_{\text{изл}} =$$

$= \varepsilon \sigma (T_c^4 - T_\infty^4)$  — излучаемый тепловой поток;  $T_\infty$  — температура среды на внешней границе пограничного слоя;  $D, B, C$  — параметры конкретного полимера. Для замыкания (1.1) необходимо добавить уравнения ламинарного пограничного слоя на длинном тонком теле вращения

$$(1.2) \quad u \frac{\partial u}{\partial x} + v \frac{\partial u}{\partial y} = \nu \left( \frac{\partial^2 u}{\partial y^2} + \frac{1}{y} \frac{\partial u}{\partial y} \right),$$

$$\frac{\partial(yu)}{\partial x} + \frac{\partial(yv)}{\partial y} = 0, \quad \rho c_p \left( u \frac{\partial T}{\partial x} + v \frac{\partial T}{\partial y} \right) = \lambda \left( \frac{\partial^2 T}{\partial y^2} + \frac{1}{y} \frac{\partial T}{\partial y} \right)$$

и граничные условия

$$(1.3) \quad u|_{y=r_c} = u_c, \quad T|_{y=r_c} = T_c,$$

$$u|_{y=r_c+\delta_D} = u_\infty, \quad T|_{y=r_c+\delta_T} = T_\infty, \quad \tau_c = \mu \frac{\partial u}{\partial y} \Big|_{y=r_c}, \quad q_T = -\lambda \frac{\partial T}{\partial y} \Big|_{y=r_c},$$

где  $u, v$  — компоненты скорости газа;  $T$  — температура газа;  $\rho$  — плотность;  $c_p$  — теплоемкость;  $\lambda$  — коэффициент теплопроводности;  $\nu, \mu$  — кинематическая и динамическая вязкость газа;  $u_\infty$  — скорость внешнего потока;  $\delta_D, \delta_T$  — толщина динамического и теплового пограничного слоя;  $\tau_c$  — напряжение трения между струей и газом. В настоящее время известно много конструктивных схем формования, но все они могут быть сведены к простым физическим моделям, отличающимся граничными условиями на бесконечности и сочетанием режимов обтекания струи расплава. Ниже рассмотрим некоторые схемы формования, представляющие теоретический и практический интерес.

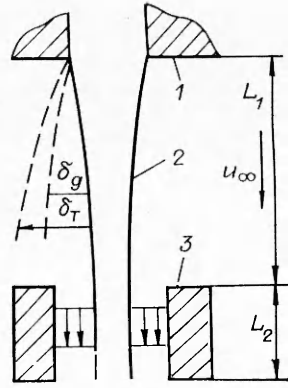
**2. Ламинарный режим обтекания.** В этом случае схема течения соответствует рис. 1 при  $L_2 = 0$ . Полагаем, что  $u_\infty$ , теплофизические параметры газа и  $T_\infty$  постоянны. Для решения системы (1.2) применим интегральный метод, где в качестве аппроксимирующих функций используются логарифмические профили для скорости и температуры (2.1), хорошо зарекомендовавшие себя в подобного рода задачах [11, 12]:

$$(2.1) \quad \frac{u}{u_c} = 1 + \frac{1}{\alpha} \ln \left( 1 + \frac{y}{r_c} \right), \quad \frac{T}{T_c} = 1 - \frac{1}{\xi} \ln \left( 1 + \frac{y}{r_c} \right).$$

Учитывая граничные условия (1.3) и сделанные предположения, после интегрирования уравнений (1.2) по поперечной координате  $y$  для неизвестных форм параметров  $\alpha$  и  $\xi$  получим

$$(2.2) \quad \frac{d\alpha}{dx} = \frac{2\nu\alpha^2 + 2 \frac{r_{cx}'}{r_c} \alpha \left( R_1 - \frac{u_\infty}{u_c} R_2 \right)}{R_3},$$

$$R_1 = -\alpha^2 \gamma - \frac{\alpha}{2} + \frac{\alpha \gamma}{2} + 0,5 + e^{2\alpha \gamma} \left( \frac{\alpha \gamma}{2} + \frac{\alpha}{2} - 0,5 \right),$$



Р и с. 1

$$\begin{aligned}
R_2 &= \alpha^2 + \frac{\alpha}{2} + e^{2\alpha\gamma} \left( \alpha^2\gamma + \alpha^2 - \frac{\alpha}{2} \right), \\
R_3 &= \frac{\alpha}{2} - \frac{\alpha\gamma}{2} - 1 + e^{2\alpha\gamma} \left( -\frac{3}{2}\alpha\gamma - \frac{\alpha}{2} + 1 + \alpha^2\gamma^2 + \alpha^2\gamma \right), \\
\frac{d\xi}{dx} &= \left[ -\frac{\nu}{Pr} \frac{1}{u_c r_c^2 \xi} + \frac{T'_{cx}}{T_\infty - T_c} \left( R_4 + \frac{u_\infty}{u_c} R_5 \right) - \frac{2r'_{cx}}{r_c} \frac{u_\infty}{u_c} R_5 - \right. \\
&\quad \left. - \alpha' \left( R_6 + \frac{u_\infty}{u_c} R_7 \right) - \gamma' \left( R_8 + \frac{u_\infty}{u_c} R_9 \right) \right] \left( R_{10} + \frac{u_\infty}{u_c} R_{11} \right), \\
R_4 &= e^{2\alpha\gamma} \left( 0,5 + \frac{\gamma}{2} - \frac{1}{4\alpha} + \frac{\alpha\gamma}{2\xi} - \frac{1}{4\xi} + \frac{\alpha\gamma^2}{2\xi} - \frac{\gamma}{2\xi} + \frac{1}{4\alpha\xi} \right) - \\
&\quad - \frac{1}{2} + \frac{1}{4\alpha} + \frac{1}{4\xi} - \frac{1}{4\alpha\xi}, \\
R_5 &= e^{2\alpha\gamma} \left( \frac{1}{4\xi} - \frac{\alpha\gamma}{2\xi} - \frac{1}{2} \right) - \frac{e^{-2\xi}}{4\xi}, \\
R_6 &= e^{2\alpha\gamma} \left( \gamma + \frac{\alpha\gamma^2}{\xi} + \gamma^2 - \frac{\gamma}{2\alpha} + \frac{\alpha\gamma^2}{\xi} - \frac{\gamma^2}{2\xi} + \frac{\gamma}{2\alpha\xi} + \frac{1}{4\alpha^2} - \frac{1}{4\alpha^2\xi} \right) + \frac{1}{4\alpha^2\xi} - \frac{1}{4\alpha^2}, \\
R_7 &= -\gamma e^{2\alpha\gamma} \left( \frac{\alpha\gamma}{\xi} + 1 \right), \quad R_8 = e^{2\alpha\gamma} \left( \alpha + \frac{\alpha^2\gamma}{\xi} + \alpha\gamma + \frac{\alpha^2\gamma^2}{\xi} \right), \\
R_9 &= -\alpha e^{2\alpha\gamma} \left( \frac{\alpha\gamma}{\xi} + 1 \right), \\
R_{10} &= e^{2\alpha\gamma} \left( -\frac{\alpha\gamma}{\xi^2} + \frac{1}{4\xi^2} - \frac{\alpha\gamma^2}{2\xi^2} + \frac{\gamma}{2\xi^2} - \frac{1}{4\alpha^2\xi^2} \right) + \frac{1}{4\alpha\xi^2} - \frac{1}{4\xi^2}, \\
R_{11} &= e^{2\alpha\gamma} \left( \frac{\alpha\gamma}{2\xi^2} - \frac{1}{4\xi^2} \right) + e^{-2\xi} \left( \frac{1}{4\xi^2} + \frac{1}{2\xi} \right), \quad \gamma = \frac{u_\infty}{u_c} - 1
\end{aligned}$$

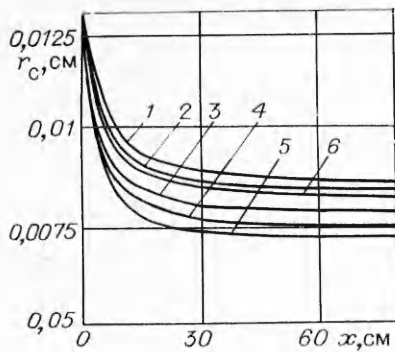
(Pr — число Прандтля газа).

В силу того что уравнения (2.2) имеют особенность в точке  $x = 0$ , начальные условия без учета высших порядков малости для  $x \rightarrow 0$  примут вид

$$(2.3) \quad \alpha_0 = \left[ \frac{4\nu x}{r_c^2 u_c \left( \frac{\gamma^3}{3} + \gamma^3 \right)} \right]^{0.5}, \quad \xi_0 = \alpha_0 \left[ \frac{\frac{\gamma^2}{2} + \left( \frac{\gamma^4}{4} + \frac{\gamma^3}{2} + \frac{\gamma^2}{2} \right)^{0.5}}{\gamma + 1} \right].$$

Таким образом, задача об аэродинамическом формировании в данной постановке сводится к численному решению систем (1.1) и (2.2) при соответствующих граничных условиях. Процесс итераций строился на близости к нулю с заранее заданной точностью результирующей продольной силы в конце участка формирования. В качестве исходных взяты данные, отвечающие реальным режимам формирования полимера полиэфиртерефталата (ПЭТФ):  $r_{c0} = 0,0125$  см,  $T_{c0} = 300$  °С,  $T_\infty = 17$  °С,  $G = 0,029$  г/с, длина участка формирования  $L_1 = 80$  см, молекулярный вес полимера  $M = 25000$  у. е.

На рис. 2, 3 приведены зависимости  $r_c(x)$  и  $T_c(x)$ , полученные для  $u_\infty = 3; 5; 10$  м/с — линии 1—3 (без перехода на турбулентный режим). Из расчетов следует, что обдув волокна вытягивающим потоком ведет к довольно быстрому его охлаждению, при этом, несмотря на сравнительно большое отличие в скоростях  $u_\infty$ , текущие значения температур струи довольно близки (отличие между кривой 1 и 3 составляет не более 15 %). Из-за того что вязкость полимера быстро растет с уменьшением температуры, диаметр нити также довольно быстро достигает постоянного значения. С увеличением скорости обдува конечный диаметр струи несколько уменьшается, а зона интенсивного его изменения по длине сокращается.



Р и с. 2

**3. Смешанный режим обтекания.** В реальных условиях пограничные слои на нитях могут быть как ламинарными, так и турбулентными, так как длина зоны формирования может достигать нескольких десятков тысяч по диаметру калибров фильеры. В [5, 13] показано, что турбулентный режим обтекания волокна отвечает текущему числу Рейнольдса  $Re_x = x(u_\infty - u_c)/\nu$  порядка  $10^5$ , при этом теплообмен и силовое взаимодействие описываются рядом близких критериальных соотношений, приведенных в [1, 5, 12, 13]. В данных расчетах использованы критериальные соотношения из [1, 13]:

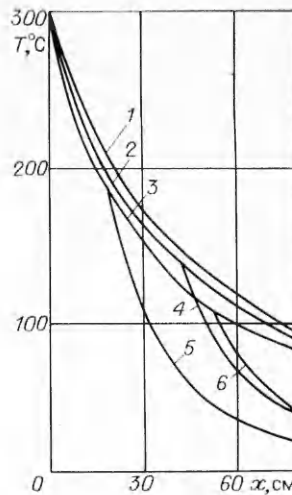
$$(3.1) \quad Nu = 0,42Re^{0,334}, C_f = 0,3745Re^{-0,61}, Re = 2r_c(u_\infty - u_c)/\nu.$$

В настоящее время нет достаточно четкой теории турбулентных и переходных слоев на тонких осесимметричных телах, поэтому для проведения оценок будем считать, что ламинарный режим обтекания существует до достижения  $Re_x$  критического значения, после чего начинается полностью развитый турбулентный пограничный слой.

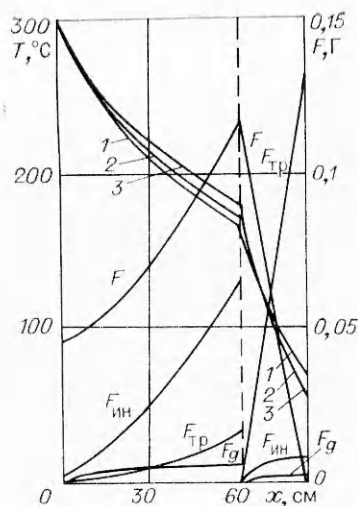
В этом случае расчет сначала ведется по уравнениям (1.1) и (2.2), а затем — по (1.1) и (3.1). На рис. 2, 3 приведены распределения по длине участка формирования  $r_c$  и  $T_c$  для следующих режимов: критическому  $Re_x = 10^5$  и скорости  $u_\infty = 5$  м/с соответствует координата точки перехода  $x_* = 42$  см (кривая 4);  $u_\infty = 10$  м/с отвечает  $x_* = 17$  см (кривая 5);  $Re_x = 3 \cdot 10^5$  и  $u_\infty = 10$  м/с соответствует  $x_* = 53$  см (кривая 6). Из рис. 2 и 3 видно, что введение соотношений турбулентного пограничного слоя в расчетную схему существенно влияет на текущую температуру струи и в меньшей степени на ее радиус, что связано с вязкостью охлажденной струи.

**4. Вытягивание с помощью эжектора.** В этом случае вытягивание струи расплава из фильеры осуществляется турбулентным потоком газа, движущимся в эжекторе (см. рис. 1). Полагалось, что до эжектора струя движется в неподвижном газе и на ней развивается ламинарный пограничный слой. Расчет до зоны эжектора при заданной силе тяги — частный случай поставленной здесь задачи, он проведен в ряде работ (см., например, [10]). При эжекторном вытягивании расчет в зоне формирования ведется по (1.1) и (2.2) для  $u_\infty = 0$ , а в зоне эжектора — по (1.1) и (3.1) при заданной постоянной по сечению и длине эжектора скорости турбулентного потока. В уравнении баланса сил из (1.1) в доэжекторной зоне к слагаемым прибавляется член  $F_{\text{тян}}$  — тянущее усилие, создаваемое эжектором:  $F = F_{\text{тян}} + F_{\text{тр}} + F_{\text{ин}} + F_g$ .

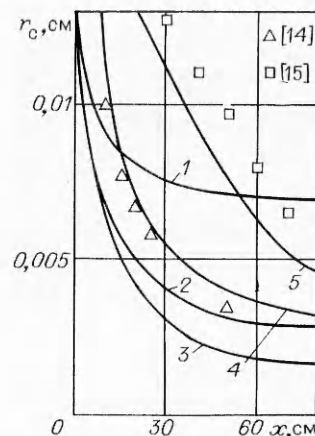
Расстояние от фильеры до эжектора  $L_1$ , длина эжектора  $L_2$  и скорости газа в эжекторе соответствуют параметрам реальной конструкции для формирования волокна. На рис. 4 и 5 представлены зависимости  $r_c(x)$  и  $T_c(x)$  при  $L_1 = 60$  см,  $L_2 = 20$  см, а скорость газа в эжекторе  $u_{\infty \text{эж}} = 10; 50; 100$  м/с (кривые 1—3). Как следует из расчетов, процесс вытя-



Р и с. 3



Р и с. 4



Р и с. 5

гивания завершается на участке  $L_1$ , что связано с энергичным охлаждением струи расплава в эжекторе для всех приведенных скоростей эжектирующего газа (рис. 4, кривые 1—3), причем распределение текущего радиуса струи по ее длине существенно зависит от скорости газа в эжекторе (рис. 5, кривые 1—3). На рис. 4 показано распределение по длине струи абсолютных значений составляющих баланса сил для  $u_{\infty \text{эж}} = 100$  м/с. Максимальное значение реологической силы на входе в эжектор отвечает силе тяги эжектора. Наибольшее сопротивление вытягиванию в доэжекторной зоне ( $x < 60$  см) оказывает сила инерции ( $\sim 55\%$  тянущего усилия), так как струя ускоряется от  $\sim 0,5$  до  $\sim 20$  м/с; аэродинамическое сопротивление около  $11\%$ . Вклад силы тяжести в тянущее усилие невелик (меньше  $5\%$ ). В эжекторной зоне ( $60 \text{ см} < x < 80 \text{ см}$ ) основная действующая сила — сила трения. Поскольку теплоотдача струи в эжекторе высока, то из-за большой вязкости ускорение струи мало и сила инерции составляет  $\sim 6\%$  от силы трения, вклад же веса струи в тянущее усилие незначителен (меньше  $1\%$ ).

В общем случае выходящая из эжектора струя газа создает дополнительное тяговое усилие, не учтенное в описываемой модельной задаче, поскольку принципиально новых моментов заэжекторная зона в рассмотренную расчетную схему не вносит, а в реальных условиях волокно сразу же из заэжекторной зоны без увеличения скорости отводится в приемное устройство. Эксперименты по формованию из расплава с помощью эжектирующего струю кольцевого сопла проведены в [8, 9], но из-за неполноты их описания для оценки полученных результатов были использованы результаты [14, 15] по формованию волокон в покоящемся газе для заданной скорости струи. Сравнение расчетных результатов с экспериментальными говорит о корректности предложенных в настоящей работе модели течения и метода решения. На рис. 5 кривая 4 представляет собой текущий радиус струи расплава ПЭТФ для условий формования [14], а 5 — для условий формования [15]. Максимальное отклонение расчетных данных от экспериментальных не превышает  $20\%$ .

#### ЛИТЕРАТУРА

1. Kase S., Matsuo T. Studies on melt spinning. 1. Fundamental equations on the dynamics of melt spinning // J. Polymer Sci.— 1965.— V. A3, N 7.
2. Matsuo T., Yasuda H., Sugiyama H. Phenomenal theories for melt spinning process and their applications // Тр. II Междунар. симп. по хим. волокнам.— Калинин, 1977.— Т. 2.
3. Ептов В. М., Ярин А. Л. Динамика струй капельной жидкости.— М., 1979.— (Препринт/ИИМ АН СССР; № 127).

4. Ентов В. М., Ярин А. Л. Динамика свободных струй и пленок вязких и реологически сложных жидкостей // Итоги науки и техники ВИНТИ. МЖГ.— 1984.— Т. 18.
5. Зябицкий А. Теоретические основы формирования химических волокон.— М.: Химия, 1979.
6. Чанг Дей Хан. Реология в процессах переработки полимеров.— М.: Химия, 1979.
7. Структура волокон/Под ред. Д. В. С. Хёрла.— М.: Химия, 1968.
8. Генис А. В., Фильберт Д. В., Синдеев А. А. Баланс сил при аэродинамическом формировании нитей из расплава полипропилена // Хим. волокна.— 1978.— № 3.
9. Генис А. В., Фильберт Д. В., Синдеев А. А. Аэродинамическое формирование волокон из расплава // Хим. волокна.— 1978.— № 1.
10. Елисеев В. И., Флеер Л. А., Белозеров Б. П. Прямая и обратная сопряженные задачи теории формирования синтетических нитей // Теплообмен-VII.— Минск: ИТМО, 1984.— Т. 5, ч. 2.
11. Bourne D. E., Elliston D. G. Heat transfer through the axially symmetric boundary layer on a moving circular fibre // Intern. J. Heat Mass Transfer.— 1976.— V. 13, N 3.
12. Боровский В. Р., Шелиманов В. А. Теплообмен цилиндрических тел малых радиусов и их систем.— Киев: Наук. думка, 1985.
13. Matsui M. Air drag on a continuous filament in melt spinning // Trans. Soc. Rheol.— 1976.— V. 20, N 3.
14. Wilhelm G. Die Abkühlung eines aus der Schmelze gesponnenen polymeren Faden im Spinnschicht // Kolloid-Zeitschrift.— 1966.— Bd 208, N 2.
15. Köhler P. Berührungslose Bestimmung von Temperaturen und Durchmessern an einem aus der Schmelze gesponnenen Faden // Chemie-Ing.-Techn.— 1971.— V. 43, N 5.

*Поступила 18/VIII 1987 г.*

УДК 532.6.011.72

## ЧИСЛЕННОЕ МОДЕЛИРОВАНИЕ ФИЗИЧЕСКИХ ЭФФЕКТОВ ПРИ ПЕРЕТЯЖКЕ СТЕКЛООБРАЗНОГО ВЕЩЕСТВА В ТОНКУЮ НИТЬ

*Е. М. Дианов, С. М. Перминов, В. Н. Перминова, В. К. Сысоев  
(Москва)*

Данная работа посвящена численному моделированию физических эффектов, возникающих при перетяжке стеклообразного вещества через высокотемпературное вязкопластичное состояние из заготовки в тонкую нить. Рассматриваемая задача относится к числу так называемых задач со «свободной границей», так как поверхность сильно вязкого расплавленного вещества, не соприкасающаяся с какими-либо поверхностями, меняет свою форму в соответствии с законами динамического равновесия между силами гравитации, поверхностного натяжения и пр. Характерная особенность задачи — наличие больших градиентов температуры, вязкости и скоростей жидкости в зоне перетяжки. Исследованы эффект устойчивой перетяжки заготовки в тонкую нить, а также условия, характер и причины возникающих из-за недогрева или перегрева эффектов каплеобразования и обрыва нити. Эта задача имеет большой практический интерес, поскольку освещает вопросы одной из наиболее быстро развивающихся современных прецизионных технологий — стабильности вытяжки световодов из кварцевого стекла [1—4].

Перетяжка кварцевого стекла исследовалась как осесимметричное вертикальное течение сильновязкой жидкости со свободной границей и переменной вязкостью. Вязкость однозначно зависит от температуры кварцевого стекла [5] в зоне перетяжки и меняется от  $10^4$  до  $10^{20}$  П. Условия ввода тела в заготовку считаются заданными.

Изучаются связанные полные нелинейные нестационарные уравнения теплопередачи и течения вязкой несжимаемой жидкости, неразрывности и свободной границы [2, 4, 6]:

$$(1) \quad \frac{\partial T}{\partial t} + u \frac{\partial T}{\partial r} + v \frac{\partial T}{\partial z} = - \frac{1}{\rho C_p} \left( \frac{\partial}{\partial r} + \frac{\partial}{\partial z} \right) k(T) \left( \frac{\partial}{\partial r} + \frac{\partial}{\partial z} \right) T + \\ + \frac{i}{\rho C_p} k(T) \left[ \frac{\partial^2}{\partial r^2} + \frac{1}{r} \frac{\partial}{\partial r} + \frac{\partial^2}{\partial z^2} \right] T;$$